

FIG. 1A

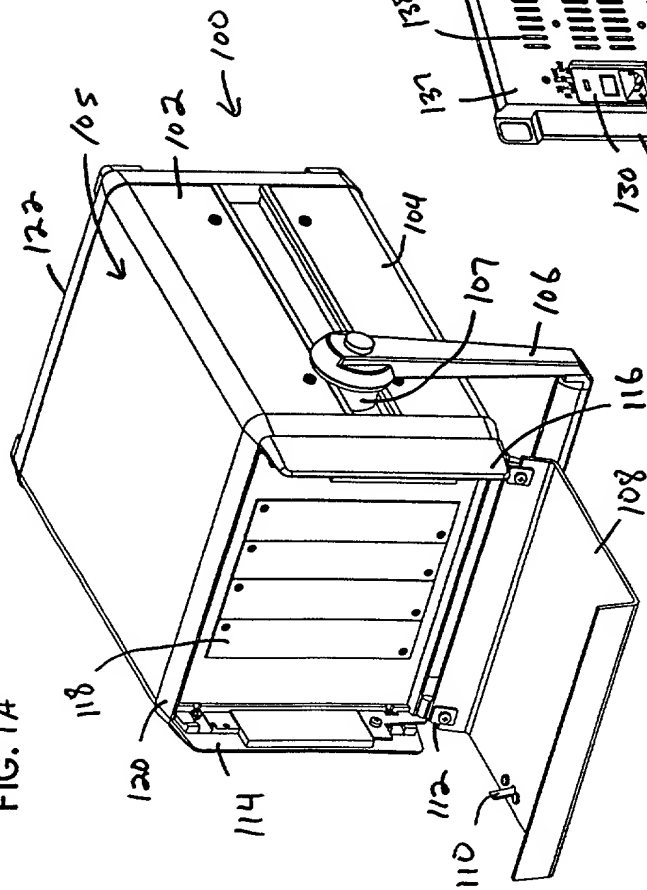


FIG. 1B

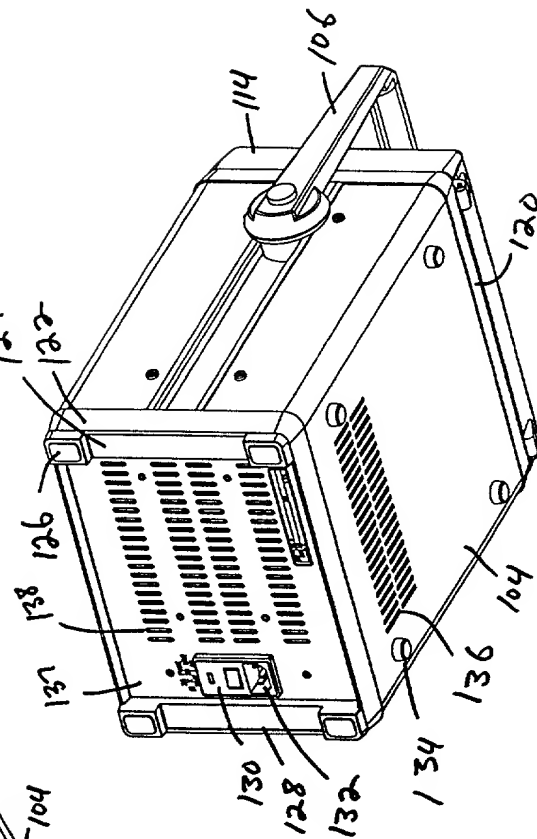


FIG. 2B

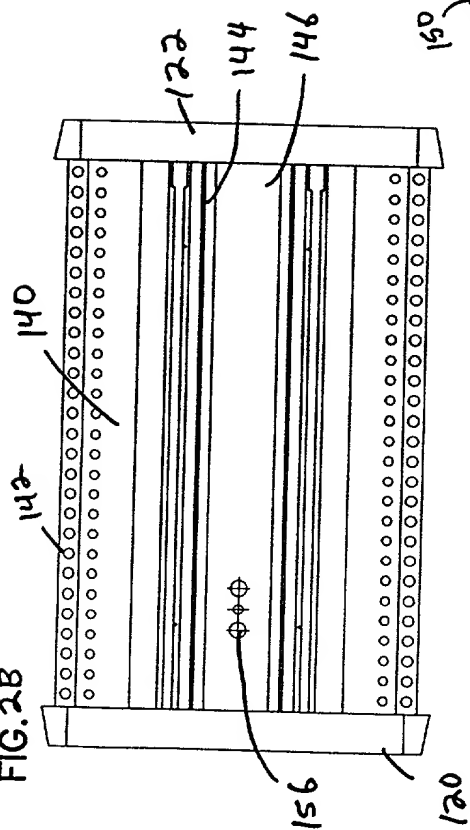
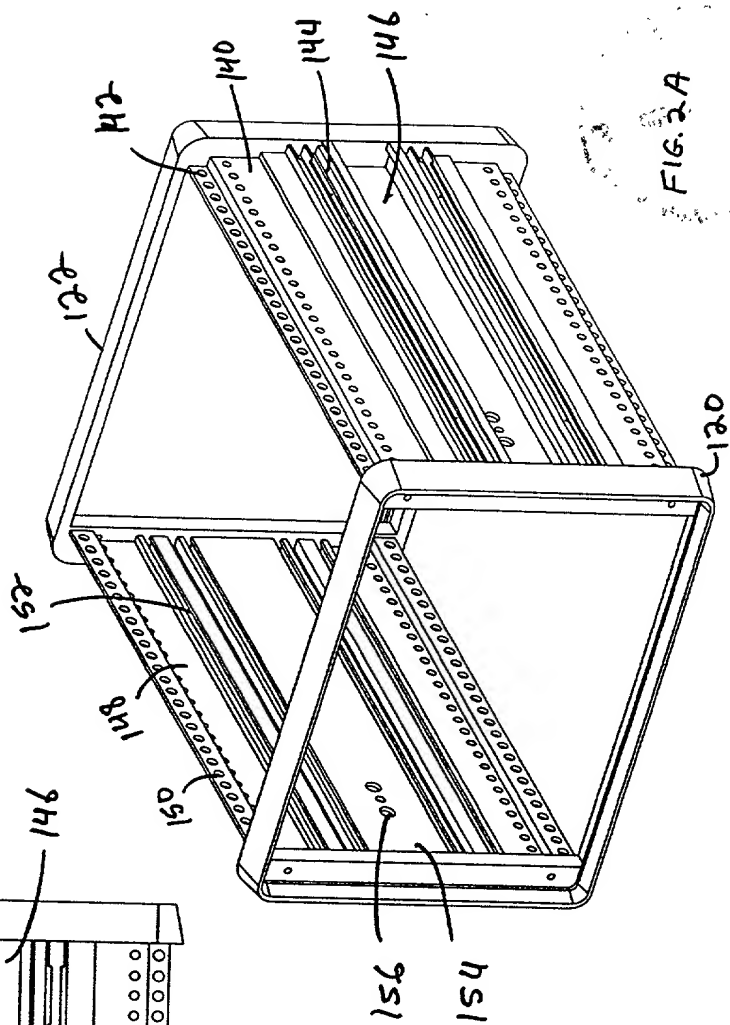
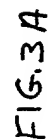
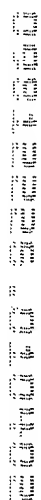


FIG. 2A





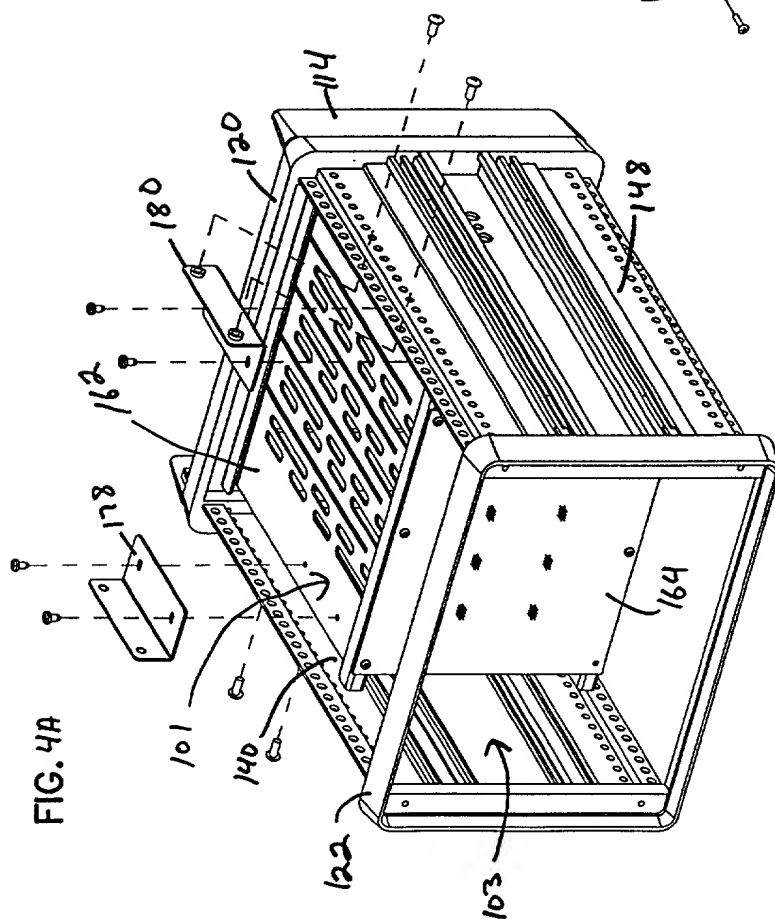
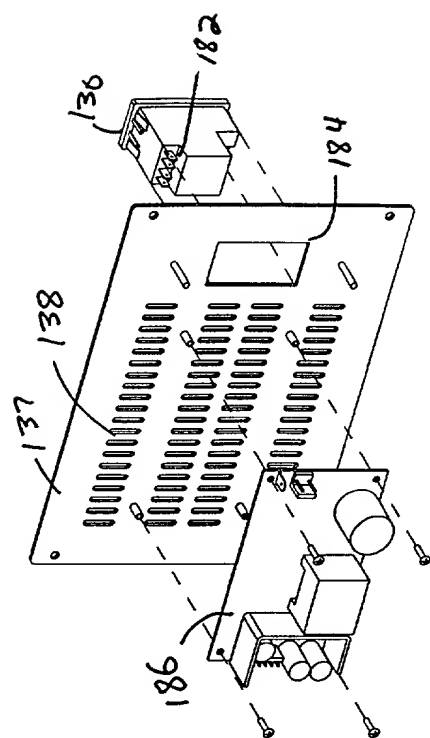
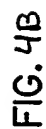


FIG. 4A





Patent & Trademark Office 2002

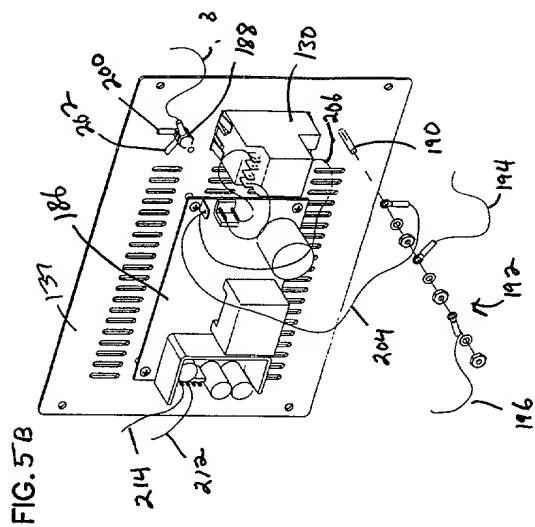
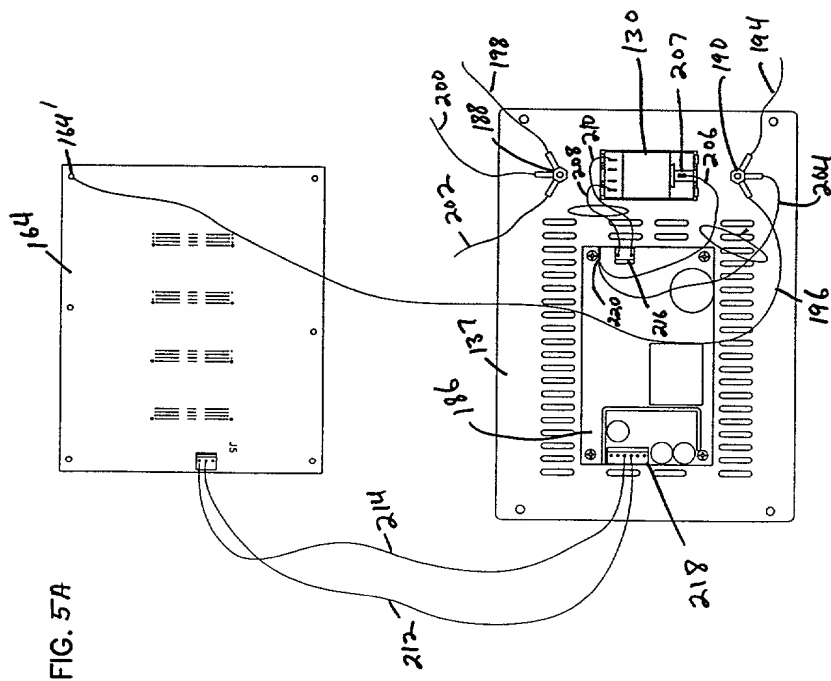
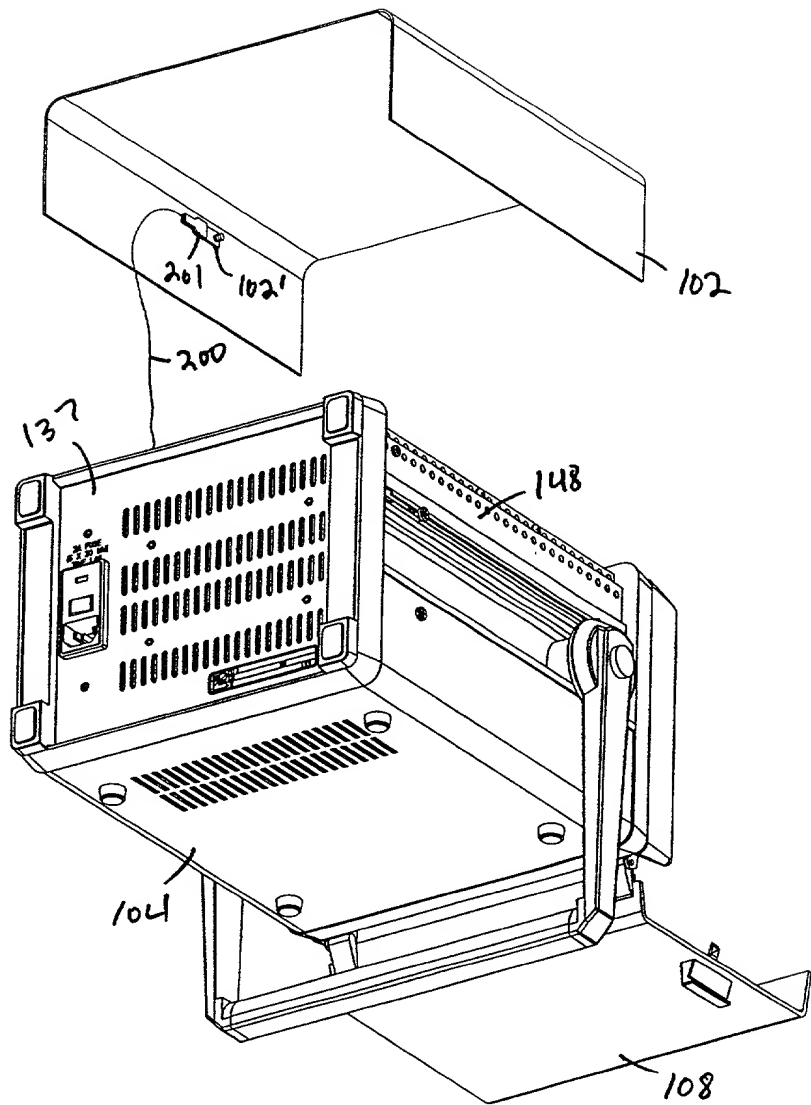
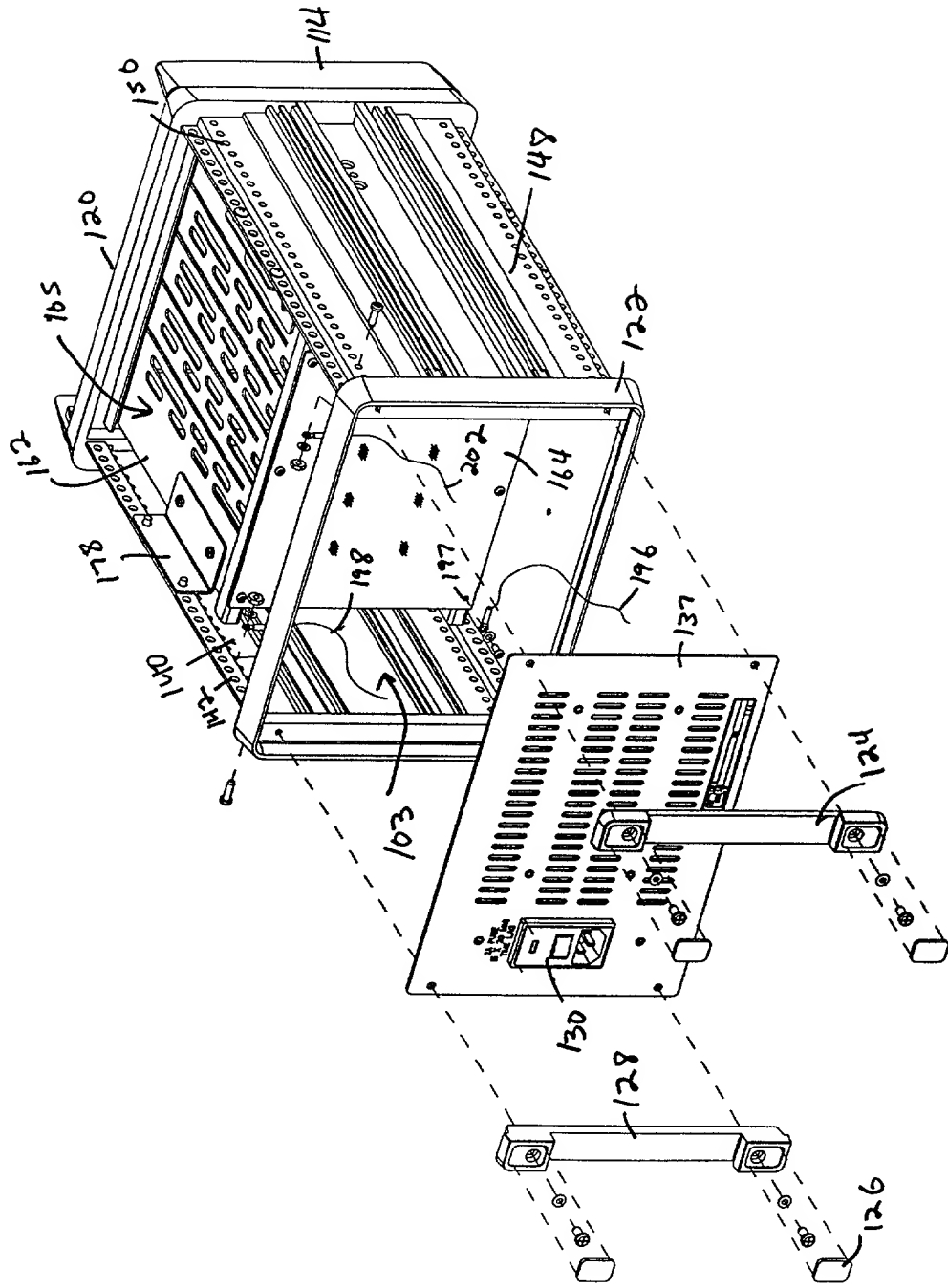


FIG. 5C



00042000 040403

FIG. 6



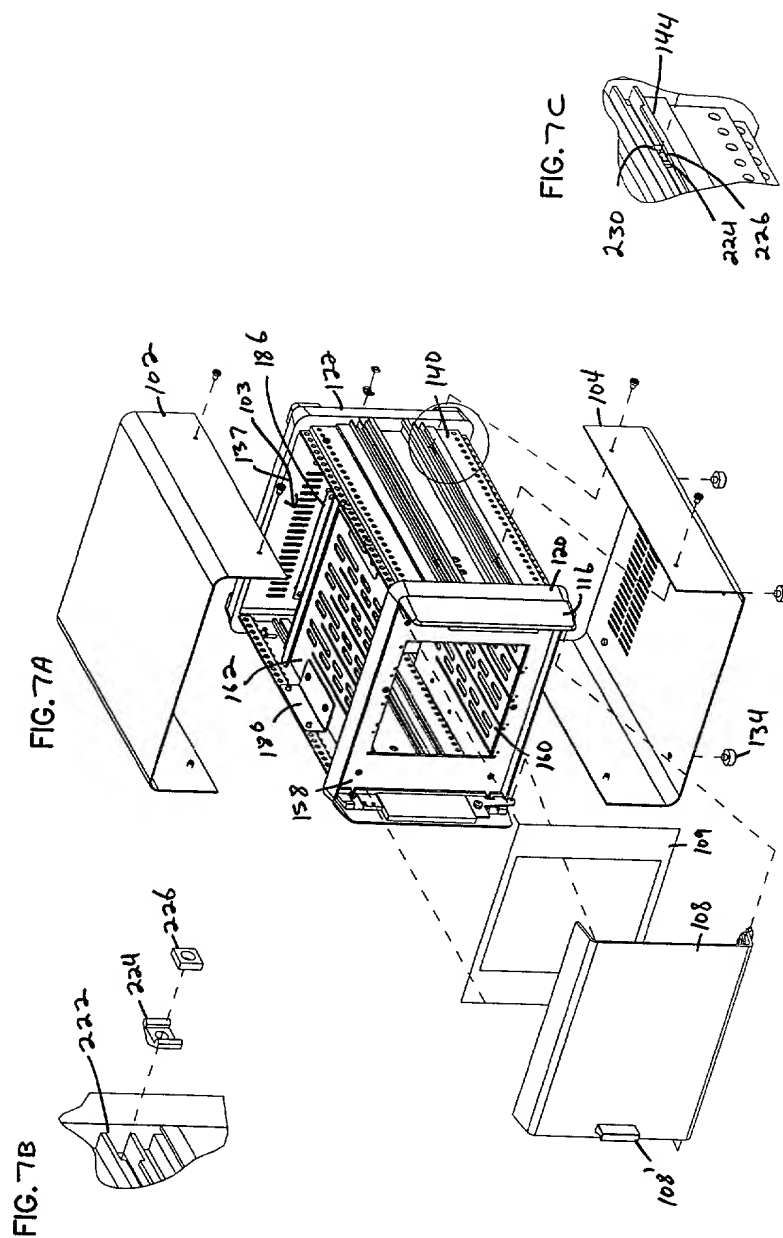


FIG. 8A

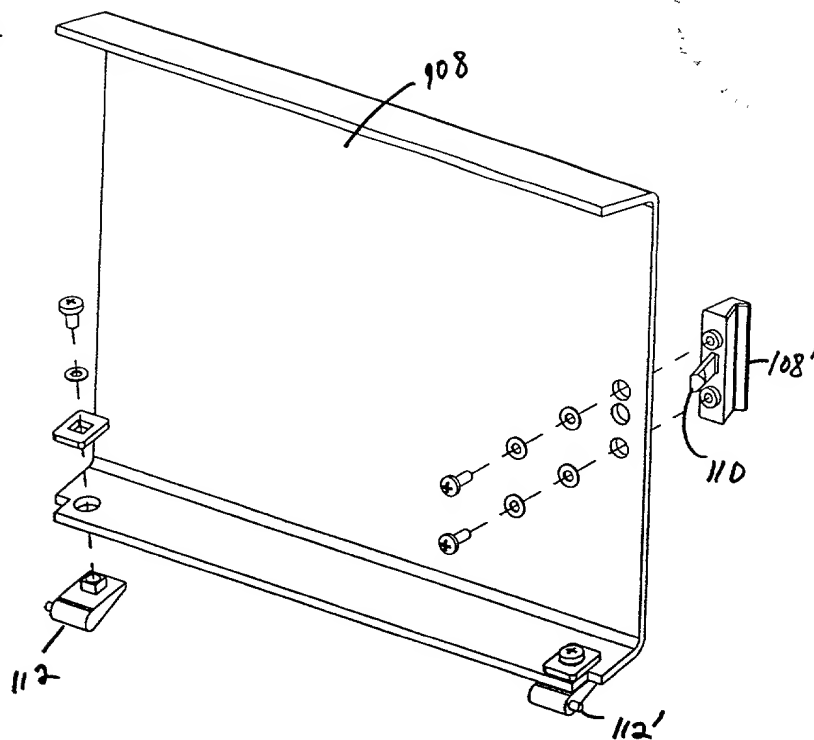


FIG. 8B

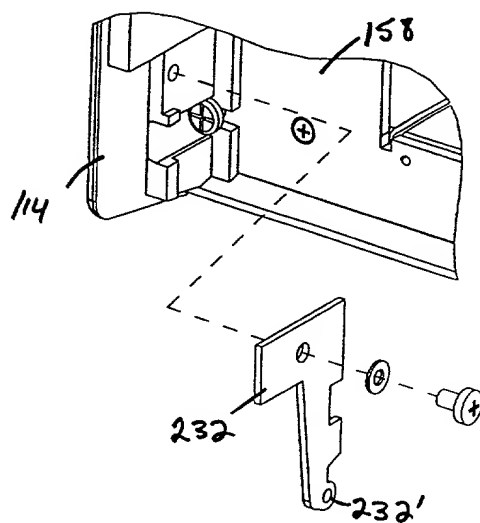


FIG. 9C

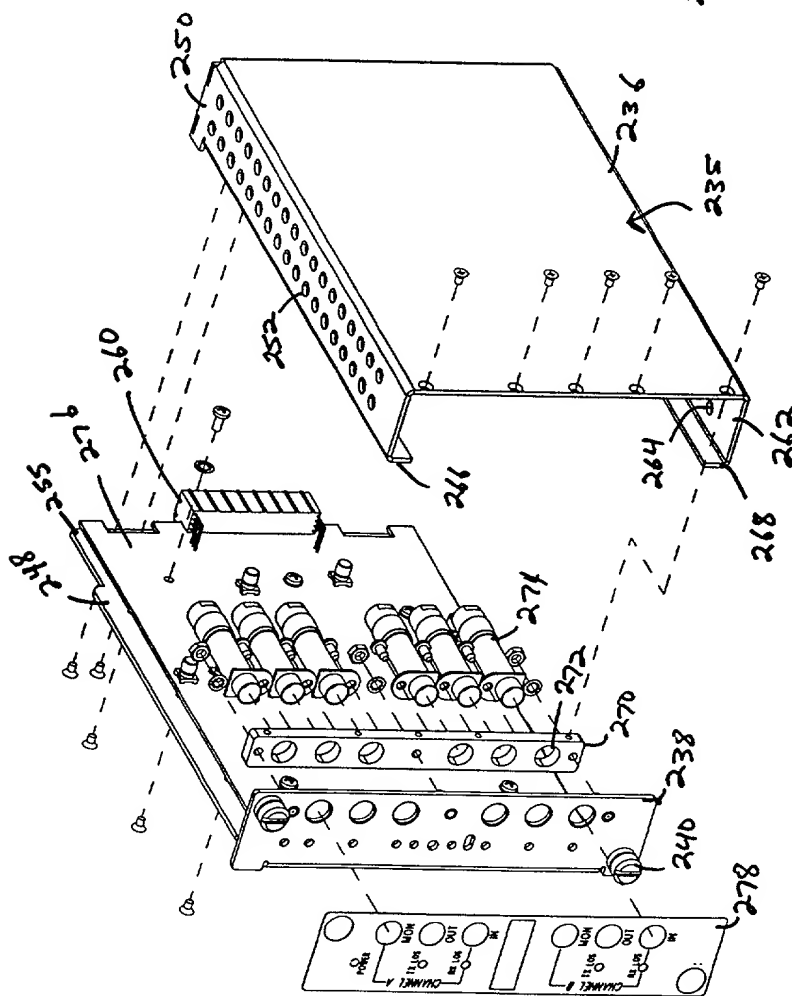


FIG. 9A

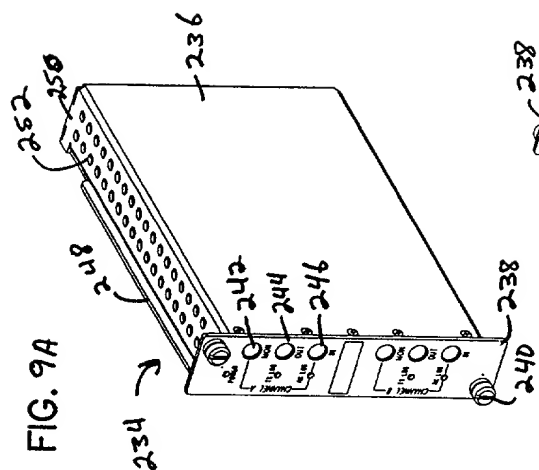


FIG. 9B

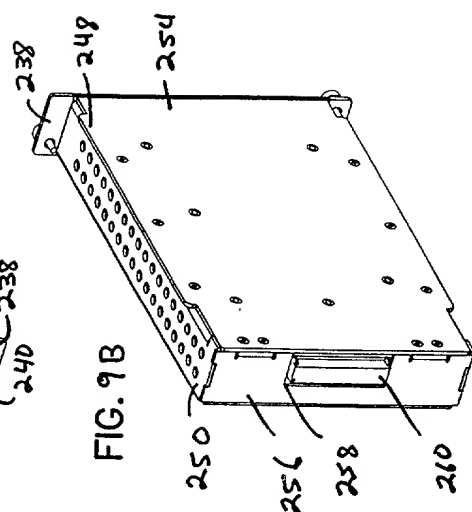
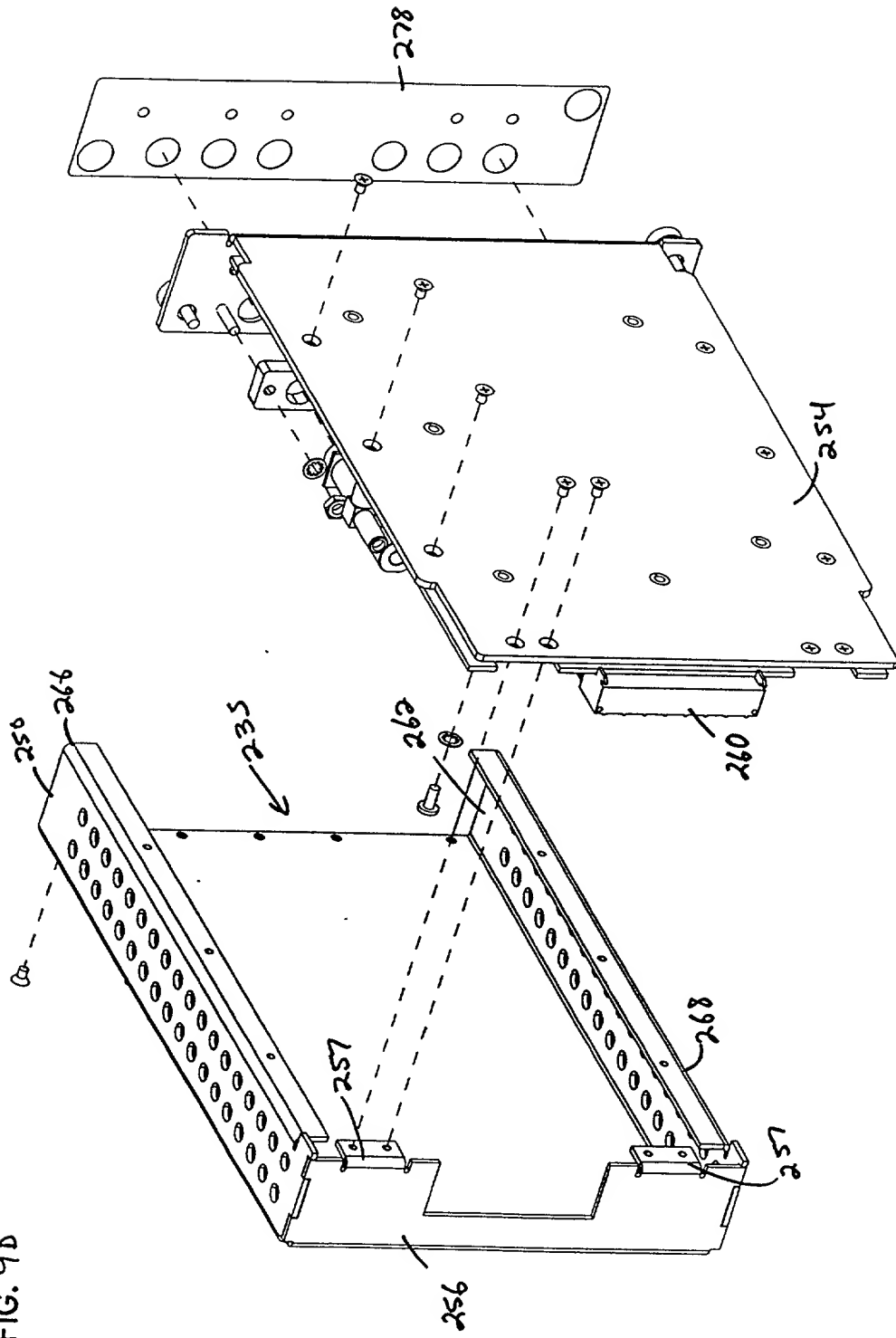


FIG. 9D



2025 RELEASE UNDER E.O. 14176

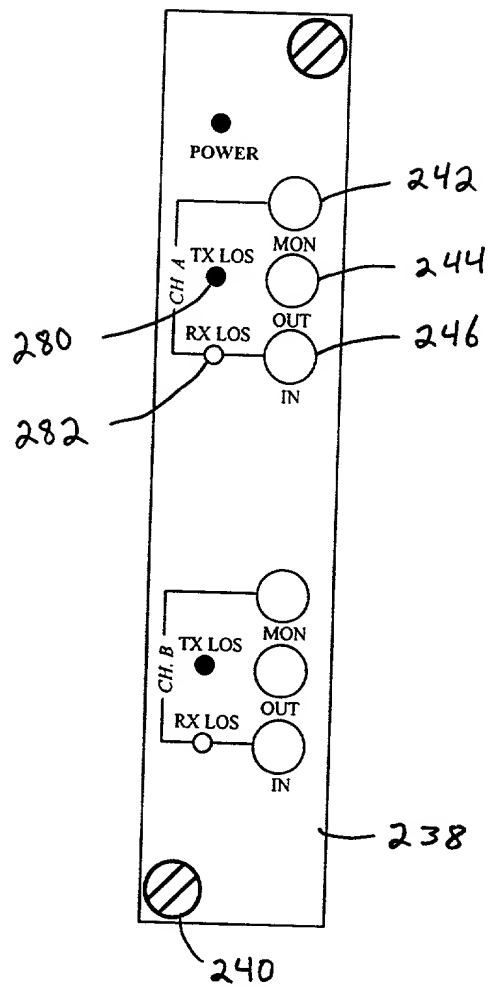


FIG. 10

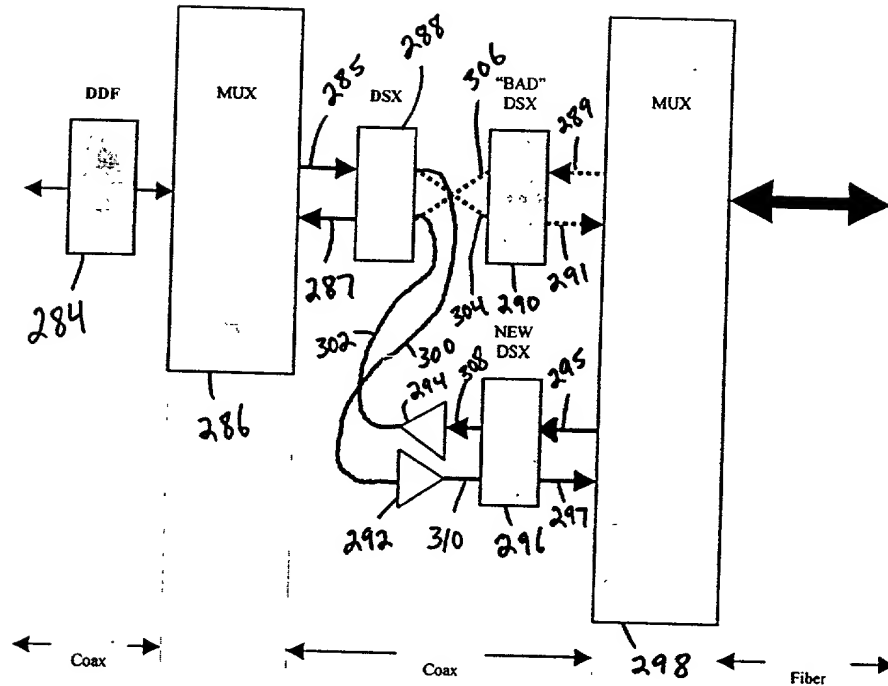


FIG. 11

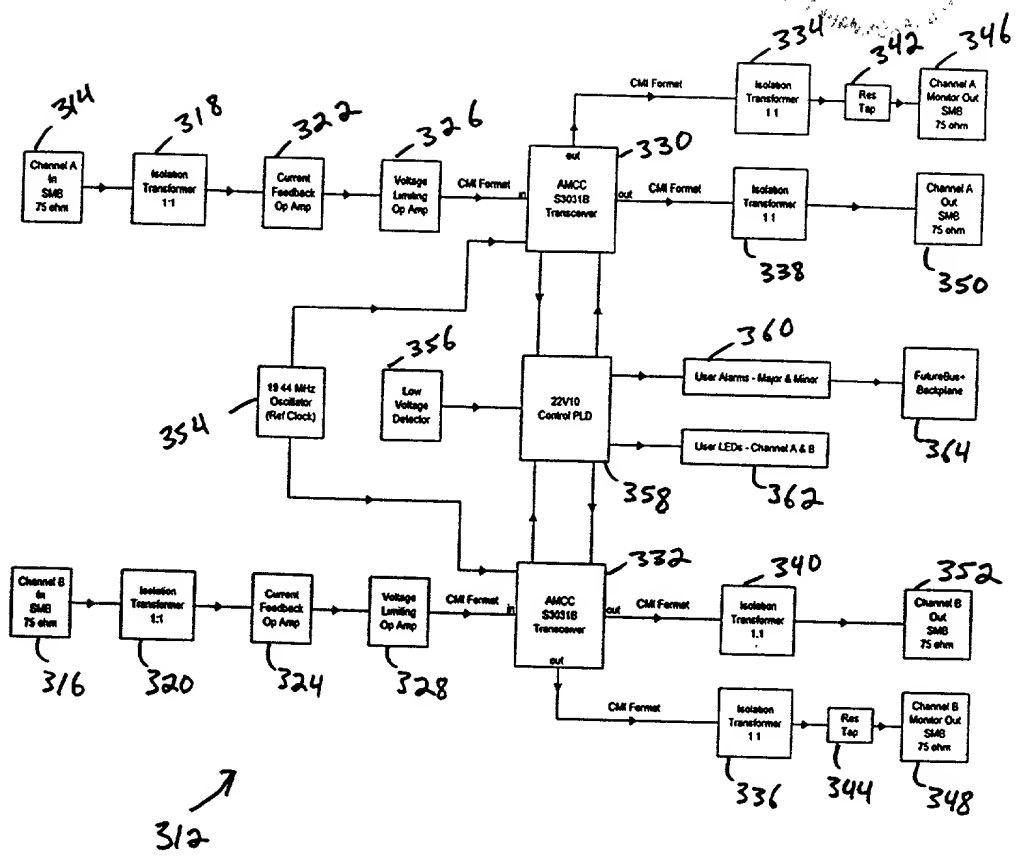


FIG. 12

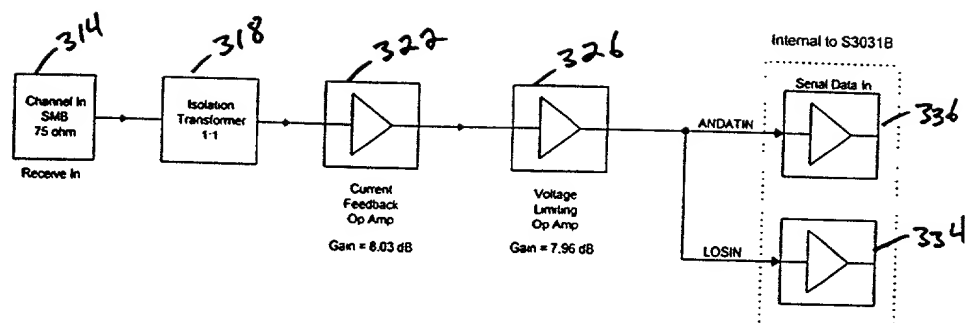


FIG. 13

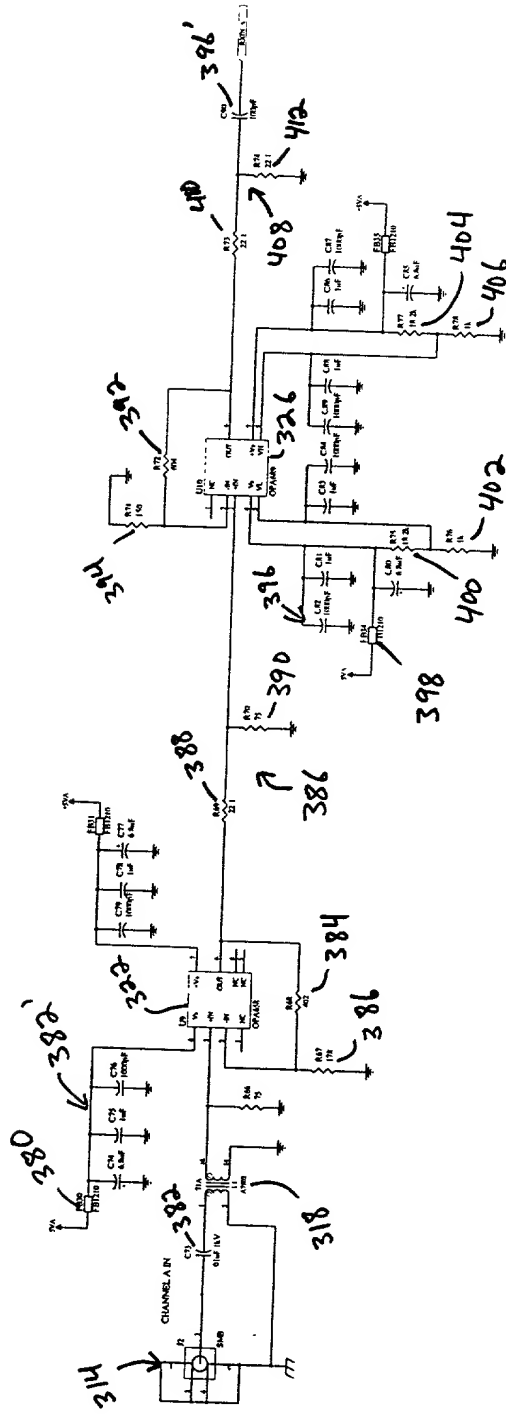


FIG. 14

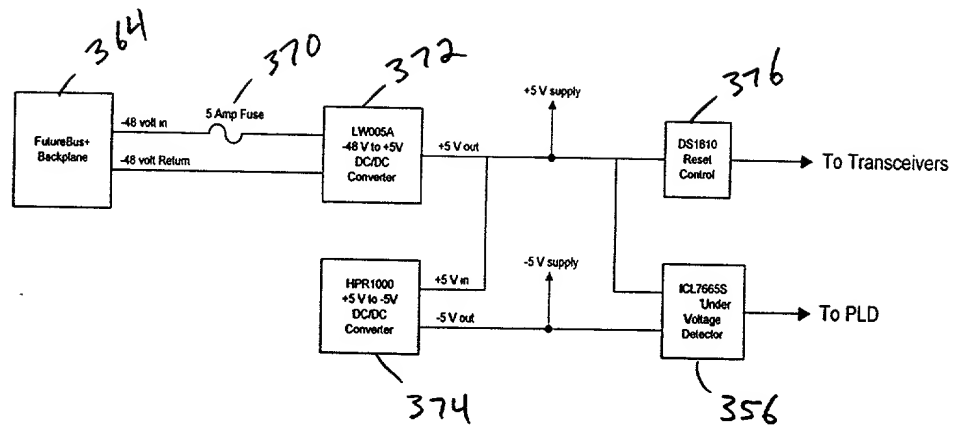


FIG. 15

447

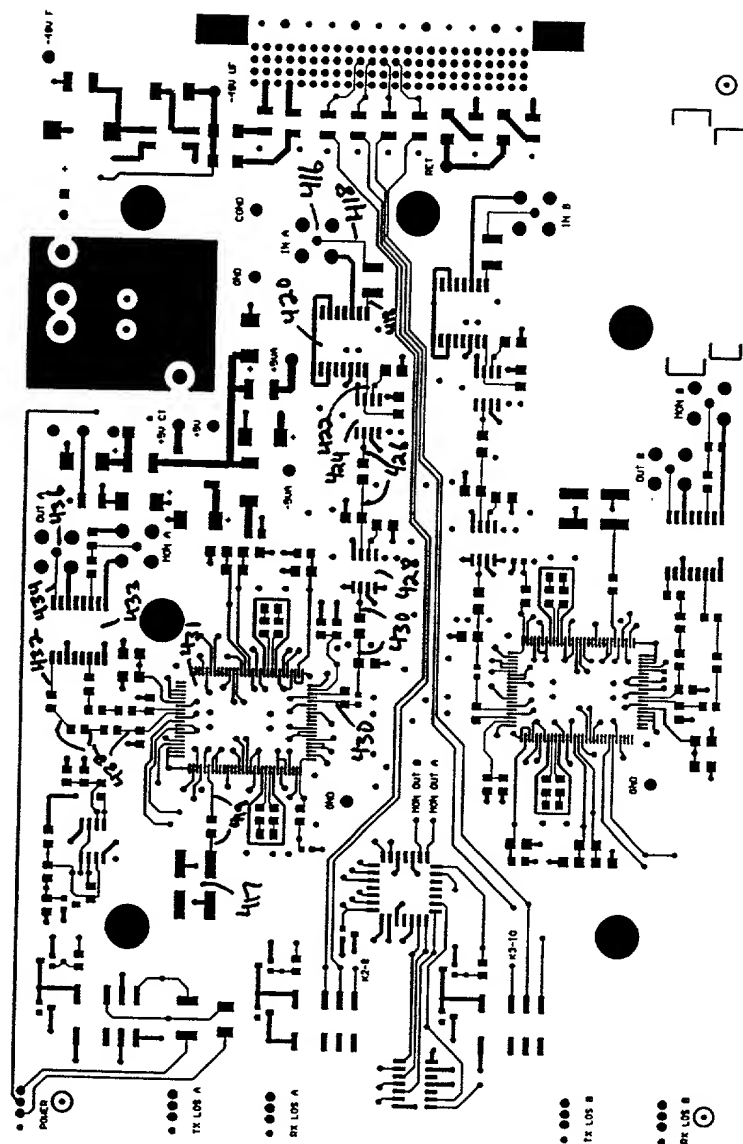
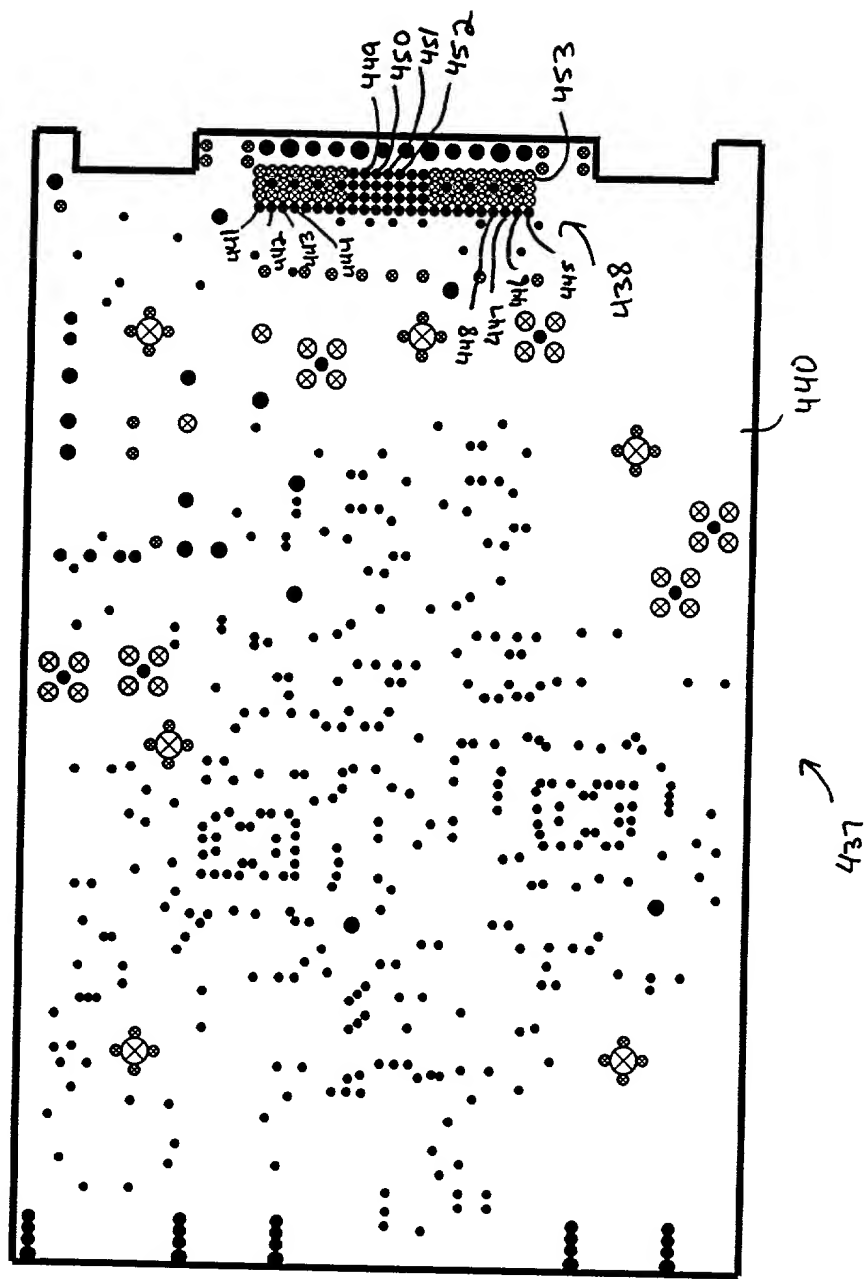


FIG. 17



6 LAYER STACK

| | |
|-------------------------|-----|
| SOLDER MASK/ COMP SIDE | 462 |
| | 464 |
| | 466 |
| .008 $\epsilon_r = 4.3$ | 468 |
| | 470 |
| .005 $\epsilon_r = 4.3$ | 472 |
| | 474 |
| .028 $\epsilon_r = 4.3$ | 476 |
| | 478 |
| .005 $\epsilon_r = 4.3$ | 480 |
| | 482 |
| .008 $\epsilon_r = 4.3$ | 484 |
| | 486 |
| SOLDER MASK/ SOD SIDE | 488 |

460 ↗

FIG. 18